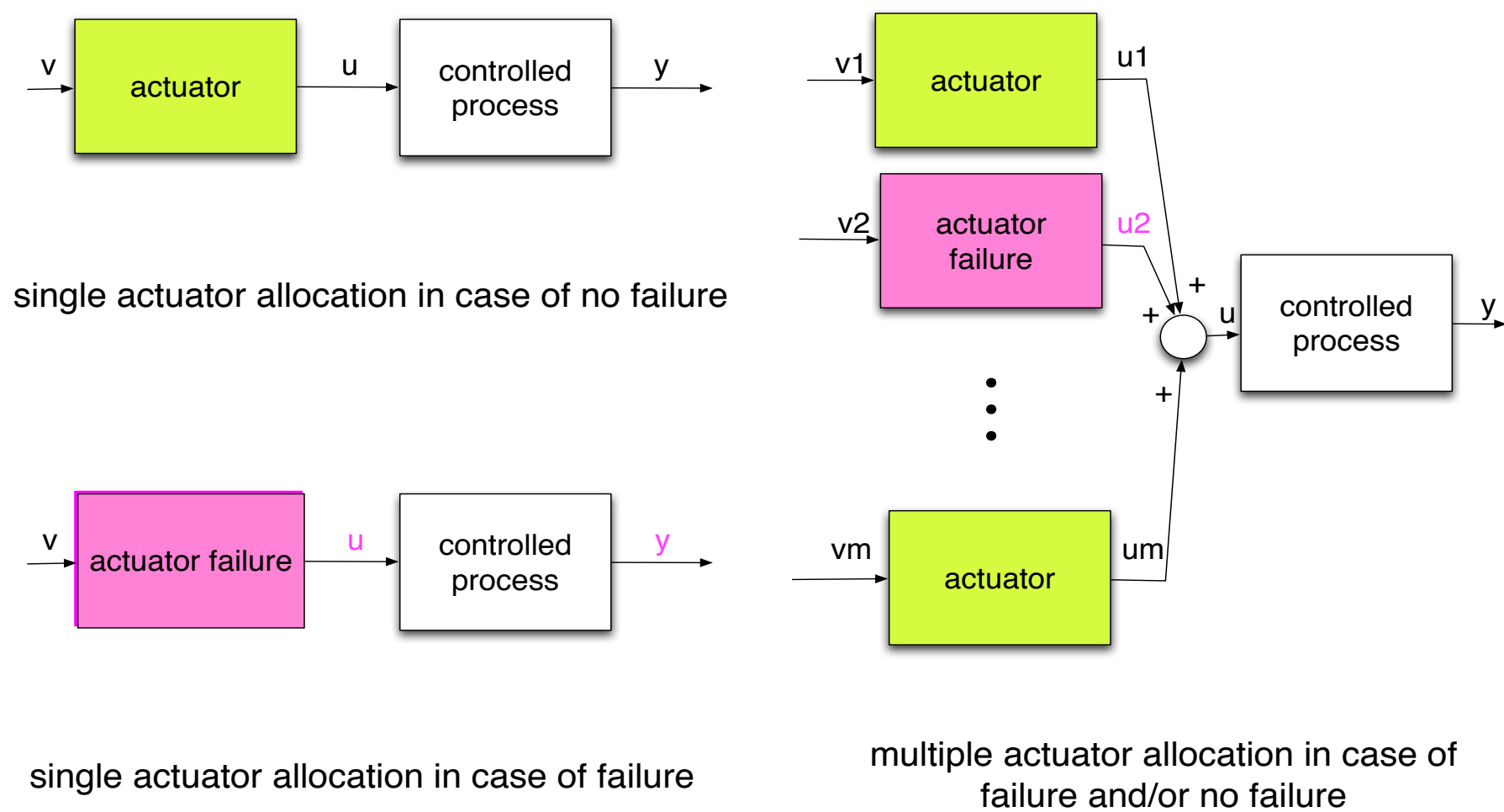


システム制御理論の研究 ～ 統計科学と制御科学の接点

宮里 義彦 数理・推論研究系 教授

【耐故障性を有する適応制御システムの構成】

- アクチュエータの故障 ⇒ 制御システムの破綻, 重大な事故
- 冗長なアクチュエータの配置による耐故障性の実現
- 未知の故障発生パターン, 故障発生時刻 ⇒ 適応制御による対処



● 問題設定

- 未知の状態むだ時間系 (m 入力1出力系 (n 次元)) (冗長な m 入力)

$$\begin{cases} \frac{d}{dt}x(t) = Ax(t) + Bu(t) + BA_\tau x(t - \tau) \\ y(t) = c^T x(t) \end{cases} \quad (1)$$

★ A, B, A_τ, c : 未知の行列とベクトル; $x(t)$: 未知

$$B = [b_1, \dots, b_m] \in \mathbf{R}^{n \times m} \quad (b_i \in \mathbf{R}^n), \quad u = [u_1, \dots, u_m]^T$$

- アクチュエータの故障: Freezing or Lock-in-Place

★ $u_j(t) = \bar{u}_j$ (const.), $t \geq t_j$, $j \in \{1, 2, \dots, m\}$ (\bar{u}_j, t_j, j : 未知)

★ 故障時を含む入力 $u(t)$ の表現

$$\begin{cases} u(t) = v(t) + \sigma \{ \bar{u} - v(t) \} \\ \sigma = \text{diag}\{\sigma_1, \dots, \sigma_m\} \quad \left(\sigma_i = \begin{cases} 1 & \text{if } u_i = \bar{u}_i \\ 0 & \text{otherwise} \end{cases} \right) \\ \bar{u} = [\bar{u}_1, \dots, \bar{u}_m]^T \end{cases} \quad (2)$$

* $v(t)$: 制御入力 (設計する信号)

- 規範モデル (既知の1入力1出力系 (n 次元; 安定))

$$\begin{cases} \frac{d}{dt}x_M(t) = A_M x_M(t) + b_M r(t) \\ y_M(t) = c_M^T x_M(t) \end{cases} \quad (3)$$

$$\begin{cases} c_M^T (sI - A_M)^{-1} b_M \equiv \frac{1}{D_M(s)} \\ D_M(s) = s^{n^*} + d_{p1}s^{n^*-1} + \dots + d_{pn^*} \\ D_M(s)y_M(t) = r(t) \end{cases} \quad (4)$$

- 制御目的: $y(t) \rightarrow y_M(t)$ となるように $v(t)$ を決定

★ むだ時間要素と未知の故障発生パターン ⊕ 出力フィードバック

● 状態変数フィルタを用いた誤差システムの表現

- 基本方針と前提条件

★ $v(t)$ の生成 $v_1(t) = \dots = v_m(t) \equiv v_0(t)$

★ $c^T (sI - A)^{-1} \sum_{j \neq j_1, \dots, j_p} b_j$ は最小位相, 相対次数 n^* , 高調波利得が正

* $u_j(t) = \bar{u}_j$: $j = j_1, \dots, j_p$ ($0 \leq p \leq m - 1$); 故障発生パターン

- 誤差システムの表現 ($e(t) \equiv y(t) - y_M(t)$)

$$D_M(s)e(t) = \theta_0 \{ v_0(t) - \Phi^T \omega(t) \} + \theta_5^T e(t - \tau) + \theta_6^T z(t) \quad (5)$$

$$\Phi = [\phi_1^T, \phi_2^T, \phi_{31}^T, \dots, \phi_{3n}^T, \phi_4^T, \phi_5, \phi_0]^T \quad (6)$$

$$\omega(t) = [v_1(t)^T, v_2(t)^T, v_{31}(t)^T, \dots, v_{3n}(t)^T, x_M(t - \tau)^T, 1, r(t)]^T \quad (7)$$

- 誤差システムの表現 (状態空間表現) ($e(t) = x(t) - x_M(t)$)

$$\begin{cases} \frac{d}{dt}e(t) = A_M e(t) + b_M \left[\theta_0 \{ u(t) - \Phi^T \omega(t) \} + \theta_5^T e(t - \tau) + \theta_6^T z(t) \right] \\ e(t) = c_M^T e(t) \end{cases} \quad (8)$$

- 状態変数フィルタ $v_1(t), v_2(t), v_{3i}(t), v_{4j}(t), z(t)$ (n 次元)

$$\begin{cases} \frac{d}{dt}v_1(t) = Fv_1(t) + gv_0(t) \\ \frac{d}{dt}v_2(t) = Fv_2(t) + gy(t) \\ \frac{d}{dt}v_{3i}(t) = Fv_{3i}(t) + gx_{mi}(t - \tau) \quad (1 \leq i \leq n) \\ \frac{d}{dt}v_{4j}(t) = Fv_{4j}(t) + g\bar{u}_j, \quad (j = j_1, \dots, j_p) \\ \frac{d}{dt}z(t) = Fz(t) + Ge(t - \tau) \end{cases} \quad (9)$$

$$x_M(t) = [x_{M1}(t), \dots, x_{Mn}(t)]^T$$

★ (F, g) : 可制御 (既知の Hurwitz 行列 F とベクトル g (設計値))

★ $v_1(t), v_2(t), v_{3i}(t)$: 測定可能, $v_{4j}(t), z(t), G$: 未知

- $e_f(t)$ の導入

$$\begin{aligned} e_f(t) &\equiv N_M(s)e(t) = c_f^T e(t) \\ &= n_{M1}e^{(n^*-1)}(t) + \dots + n_{Mn^*-1}\dot{e}(t) + n_{Mn^*}e(t) \end{aligned} \quad (10)$$

$$c_f^T (sI - A_M)^{-1} b_M = W_M(s) \quad (11)$$

★ $n^* - 1$ 次の Hurwitz 多項式 $N_M(s)$

$$W_M(s) = \frac{N_M(s)}{D_M(s)} = \frac{n_{M1}s^{n^*-1} + \dots + n_{Mn^*}}{s^{n^*} + d_{M1}s^{n^*-1} + \dots + d_{Mn^*}} \Rightarrow \text{強正実}$$

● 出力の時間微分を用いた構成

- 制御信号 $v(t)$ の生成とパラメータのチューニング

$$\begin{cases} v_0(t) = \hat{\Phi}(t)^T \omega(t) - \hat{k}(t)e_f(t) \\ \dot{\hat{\Phi}}(t) = -\Gamma_1 \omega(t)e_f(t) \quad (\Gamma_1 = \Gamma_1^T > 0) \\ \dot{\hat{k}}(t) = \Gamma_2 e_f(t)^2 \quad (\Gamma_2 > 0) \end{cases} \quad (12)$$

- 結果: 安定性と出力誤差の0への収束

$$\lim_{t \rightarrow \infty} e(t) = 0, \quad \lim_{t \rightarrow \infty} \dot{e}(t) = 0 \quad (13)$$

● 出力の時間微分を用いない方法

- ハイゲインオブザーバの構成 ($\dot{e} \sim e^{(n^*-1)}$ の推定)

$$\begin{cases} \frac{d}{dt}\hat{e}_{n^*}(t) = A_0 \hat{e}_{n^*}(t) + K_{n^*} \{ e_1(t) - \hat{e}_1(t) \} \\ A_0 = \begin{bmatrix} 0 & 1 & 0 & \dots & 0 \\ 0 & 0 & 1 & 0 & \dots & 0 \\ \vdots & \vdots & \vdots & \vdots & \vdots & \vdots \\ 0 & 0 & \dots & \dots & 0 & 1 \\ 0 & 0 & 0 & \dots & \dots & 0 \end{bmatrix} \\ K_{n^*} = [\alpha_1/\epsilon, \alpha_2/\epsilon^2, \dots, \alpha_{n^*}/\epsilon^{n^*}]^T \quad (0 < \epsilon \ll 1) \\ \hat{e}_1(t) = h_1^T \hat{e}_{n^*}(t), \quad e_1(t) = c_M^T e(t) = e(t) \\ \alpha(s) = s^{n^*} + \alpha_1 s^{n^*-1} + \dots + \alpha_{n^*} \quad (\text{Hurwitz polynomial}) \end{cases} \quad (14)$$

- ハイゲインオブザーバを用いた $e_f(t)$ の逐次推定

$$\hat{e}_f(t) = h_f^T \hat{e}_{n^*}(t) \quad (15)$$

$$h_f = [n_{Mn^*}, n_{Mn^*-1}, \dots, n_{M1}]^T \quad (16)$$

- 制御信号 $v(t)$ の生成とパラメータのチューニング (Pr(\cdot): 射影則)

$$\begin{cases} v_0(t) = \hat{\Phi}(t)^T \omega(t) - \hat{k}(t)\hat{e}_f(t) \\ \dot{\hat{\Phi}}(t) = \text{Pr}\{-\Gamma_1 \omega(t)\hat{e}_f(t)\} \quad (\Gamma_1 = \Gamma_1^T > 0) \\ \dot{\hat{k}}(t) = \text{Pr}\{\Gamma_2 \hat{e}_f(t)^2\} \quad (\Gamma_2 > 0) \end{cases} \quad (17)$$

- 結果: $\epsilon \in (0, \exists \epsilon^*)$ に対して安定性と出力誤差の残差領域への収束

$$\lim_{T \rightarrow \infty} \frac{1}{T} \int_0^T \|e(t)\|^2 dt \leq \text{const.} \cdot \epsilon^{1/2} \quad (18)$$

$$\lim_{T \rightarrow \infty} \frac{1}{T} \int_0^T e(t)^2 dt \leq \text{const.} \cdot \epsilon^{1/2} \quad (19)$$